



**54418.23—
2019
(61400-23:2014)**

23

**(IEC 61400-23:2014, Wind turbines — Part 23:
Full-scale structural testing of rotor blades, MOD)**



2019

54418.23—2019

1 ()
 « -
 » () 4
 ,

2 016 « »

3 8 29 2019 . 116- -

4 61400-23:2014 « 23. -
 rotor blades». MOD) » (IEC 61400-23:2014 «Wind turbines — Part 23: Full-scale structural testing of -
 , -
 1.5—2012 (3.5). -
 , -
 . -

5

6 () -

-

29 2015 . N9 162- « 26 -
) () 1 -
 « », « ».
 — () «
 ». , -
 —

(www.gost.ru)

© . 2019

1	1
2	1
3	,	2
4	3
5	5
6	6
7	6
8	7
9	9
10	11
11	13
12	14
	()	15
	()	16
	()	17
	() 22
	()	25
	F ()	27
	()	28
	()	29

54418.23—2019

23:2014
-
-
-
-
1.5-2001;
- F
- « 22.
F.1.
(4.2)
:
(4.3)
61400-23:2014:
61400-
1.5—2001:
1. 8.3.2;
IEC 61400-22:2010 «
».

54418.23—2019
(61400-23:2014)

23

Renewable power engineering. Wind power engineering. Wind turbines.
Part 23. Full-scale structural testing of rotor blades

— 201^—12—01

1

(—),

54418.1.

2

/ 17025

54418.1 (61400-1:2005)

1.
55589 (60050-415:1999)

2394

ww

1

1

54418.23—2019

() .

3

3.1 55589,

3.1.1 :

3.1.2 :

3.1.3 :

3.1.4 :

3.1.5 :

3.1.6 :

3.1.7 :

3.1.8 :

3.1.9 :

3.1.10 :

3.1.11 :

3.1.12 :

— 1.

3.1.13 :

— 2.

3.1.14 :

3.1.15 :

3.1.16 :

—

3.1.17 :

() .

3.1.18 :

3.1.19 :

()

3.1.20 :

3.1.21 :

3.1.22 :

3.1.23 : -

3.1.24 : , -

— 2.

3.1.25 : -

3.1.26 : -

3.1.27 : -

3.1.28 : , -

3.1.29 : , -

3.1.30 : , -

3.2 : -

F_g — ();

F_b — ();

F_c — ();

F_x — ();

— ();

F_x — ();

— ();

— ();

— ();

— ();

M_f — ();

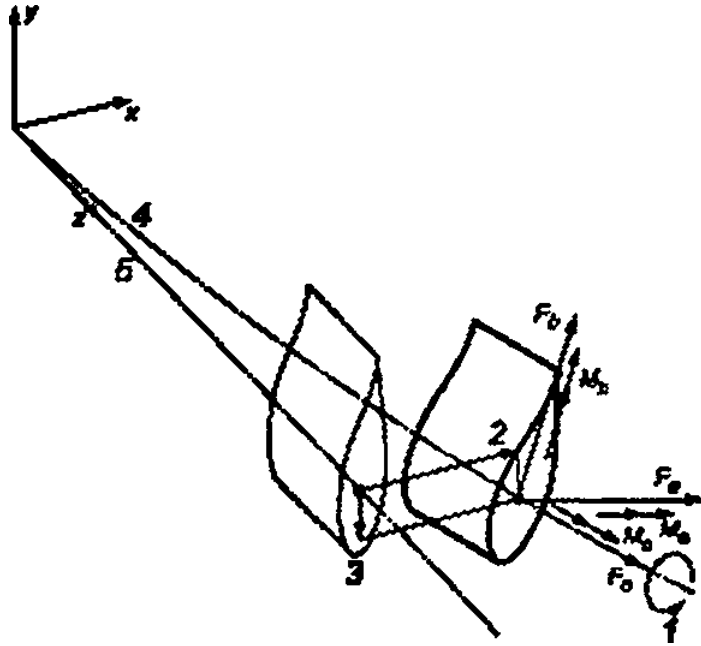
— ().

4

1. -

2. -

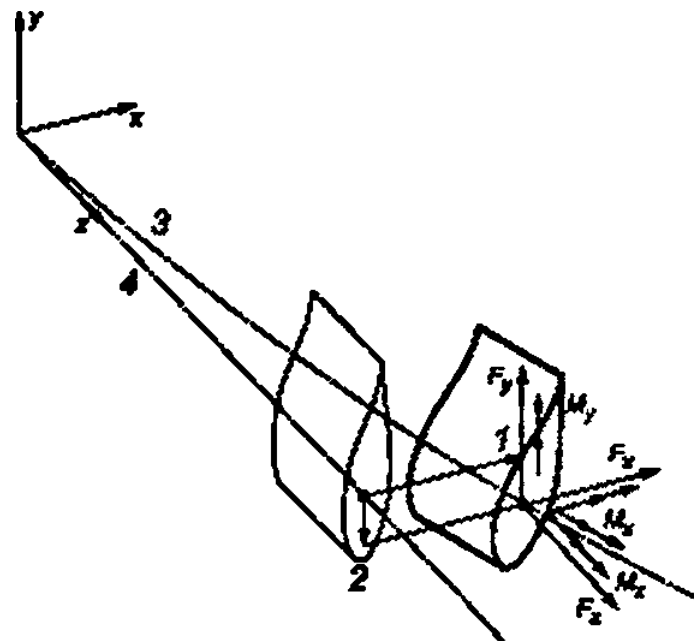
54418.23—2019



1— ; 2— ; 2— ; 4— ; 6—

1— (,)

— 1



1— ; 2—

2— ; 4—

2—

— 2

4

54418.23—2019

6

(.9.3 9.4).

.8

7

7.1

(.) (.).

7.2

: (.10.4.1 10.4.2);
 (.9.3 10.2);
 (.9.4 10.3);
 (.10.4.3).

(. 10).

7.3

7.3.1

7.3.2

():

•

-

-

()

8

()

7.3.3

(. 8.3.3).

7.3.4 8

8

8.1

8.2.

8.3.

8.2

8.2.1 8

54418.1:

$f_{\text{н}}$ —

ff —

(, ρ)

8.2.3, 8.2.4, 8.4.

8.2.2

54418.23—2019

8.2.3
)
 8.2.4
 8.3
 8.3.1
 -
 •
 (1.0.
 8.3.2
)
 1
 ()
)

5 - 10 ⁵	1,065
10	1,050
2.5 - 10	1,035
5 - 10	1,025
10 ⁷	1,015

8.3.3 8
)
 8.4
 /
 1 9 1'

$$F_{target-u} = F_{du} \cdot \gamma_{nu} \cdot \gamma_{su} \cdot \gamma_{tu} \tag{1}$$

F_{du} — (. 8.2.1);
 f_{nu} — (. 8.2.3);
4 — , (. 8.3.1);
— , (. 8.3.3).

$F_{target-f}$

$$tsrgol-f \sim * < , \tag{2}$$

F_{af} — (. 8.2.1);
(. 8.2.3);
(. 8.3.1);
(. 8.3.2):
— ,

9

9.1

9.2

10.1.3.

54418.23—2019

9.3
10
9.4

(. 6).

(. 8.3.1 8.3.3).

.1 (.)

;

;

;

)

10

10.1

10.1.1

10.1.2

/ 17025.

1).

10.1.3

-

•

21

10.1.4

10.1.5

1 %)

10.1.6

10.1.6.1

-

-

«

10.1.6.2

(F).

()

21

1 %.

54418.23—2019

10.1.6.3

10.2

10.2.1

10.2.2

10.2.3

*

«

10.2.4

10.3

10.4

10.4.1

10.4.2

10.4.3

- ;
- ;
- ;
- .

11

11.1

, , .

-

-

-

• ;

- ;

- ;

(. 11.5).

11.2

— .

• ;

- ;

- , , , , ;

8 , , , , .

11.3

, /

(. 7.2.10.4.1 10.4.2)

10.2.3 10.2.4 ()

10.2.2—10.2.4 10.4.2 /

11.4

• ;

- ;

- ;

- ;

- ;

• .

6.

54418.23—2019

11.5

12

12.1

12.2

:

-

•

«

-

-

-

-

-

-

-

-

-

12.3

:

-

-

-

()

• , ;
 - , ;
 - , ; (), -
 , ;
 , ;
 , ; ! , -
 , ; (

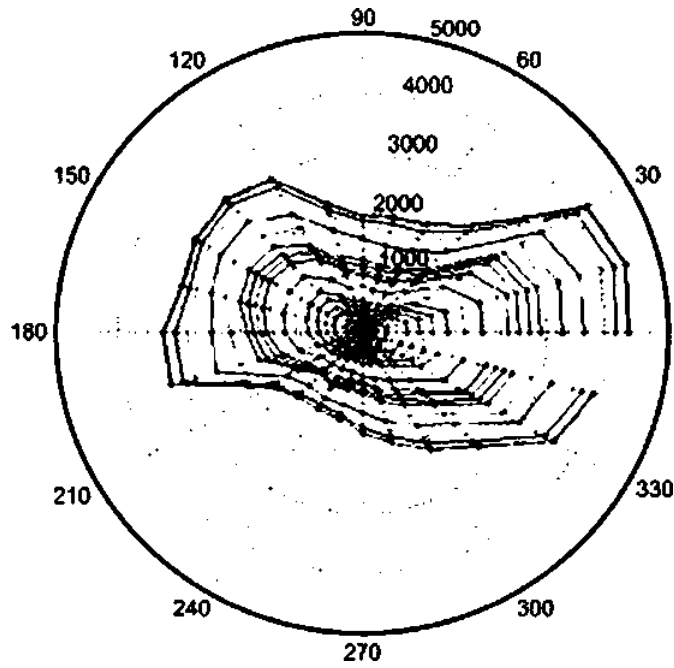
$$f = \frac{S_{ref}}{S_{min}} \quad (8.1)$$

S_{ref} — 8 , -
 ;
 S_{min} —
 (8.1) , f -

()

.1

15°



.1 —

.2

FSF.

FSF

54418.23—2019

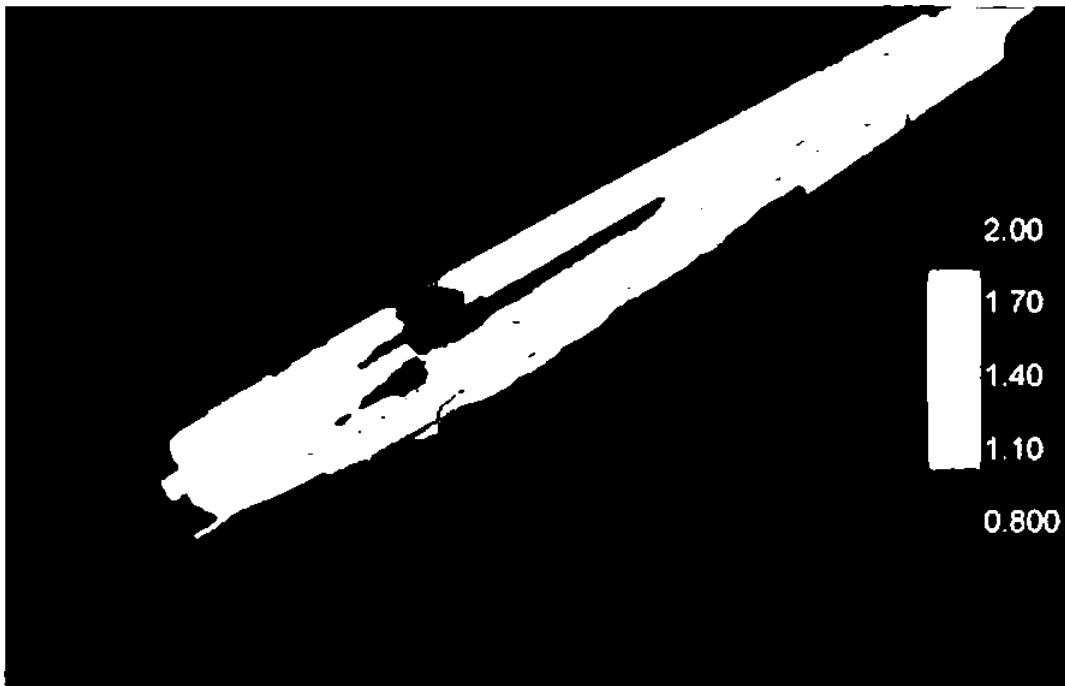
$rFSF = FSF \cdot \sqrt{v}$ (.1)

$FSF_{fесr}$

20 FSF 1.4

62.5 2 26

62.5



1.4. .2 FSF 1.4. FSF



— *FSF* 1.4 ()

40.0

FSF.

1

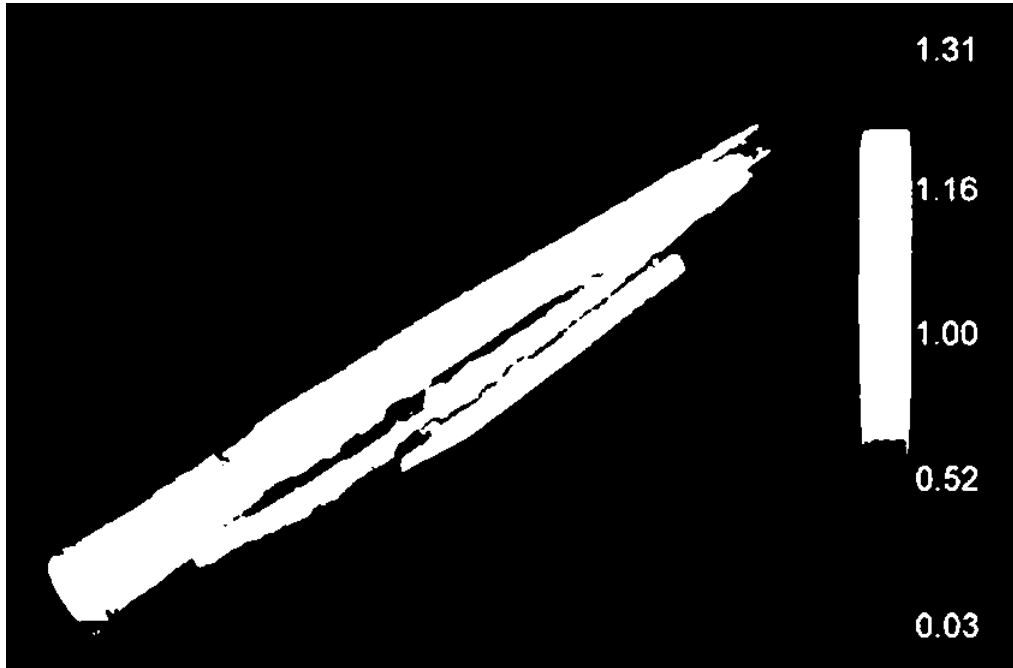
.4

.1

.4

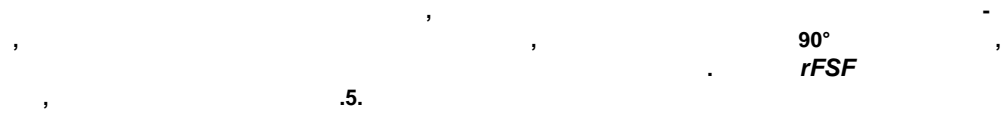
30 %.

54418.23—2019



.4 — *rFSF*

.4



.5.



.5 — *rFSF*

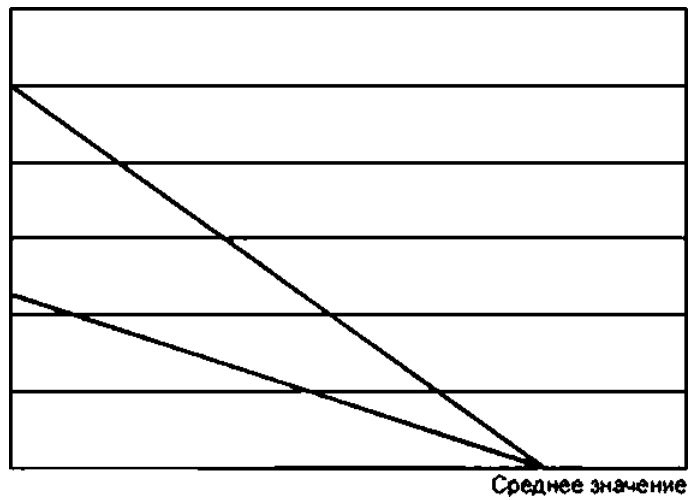
,
FSF 1,4. 19 %.
,
() ,
-
.

54418.23—2019

(D)

D. = 1,05
 1. 1.035 2.5 1.

D. D.3 D.1.



----- reduced

D.1 —

«Charac».

8

D.

S.
 «Reduced»

S.

D,

D
 ""

<0.1)

D — ;

— ;

— ;

W N.

$$\frac{W}{N} = \frac{W}{S^{2l-M+D}} \quad (D.2)$$

N — ;

IV — ;

S — ;

— ;

(D.1) (DJ) (D.3).

»^ (D.3)

(0.4), «0» — (0.5). « » -

$$= | \text{-----}^2 \text{-----} | \cdot 1 \quad (0.4)$$

^... $D(S-M_0)J$ (0.5)

?^—

(D.6).

(0.6)

IV, W_t (0.7) -

R (()) (0.7)

(0.8)

(1 — { () } ;

— ()) .

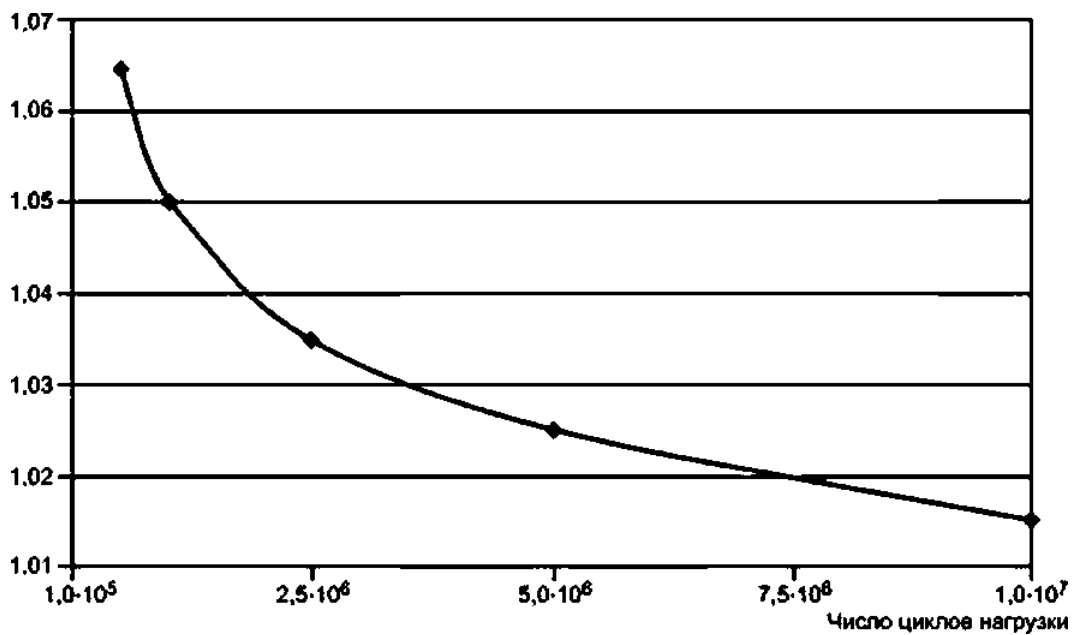
54418.23—2019

$n_{jj} = 50 \cdot 10^6$
 $R = 0.7$
 $n_{jj} = 2.5 \cdot 10^6$
 $n_{jj} = 10^7$
 $n_{jj} = 10^5$
 $n_{jj} = 10^6$
 $n_{jj} = 10^7$
 $n_{jj} = 10^8$
 $n_{jj} = 10^9$
 $n_{jj} = 10^{10}$
 $n_{jj} = 10^{11}$
 $n_{jj} = 10^{12}$
 $n_{jj} = 10^{13}$
 $n_{jj} = 10^{14}$
 $n_{jj} = 10^{15}$
 $n_{jj} = 10^{16}$
 $n_{jj} = 10^{17}$
 $n_{jj} = 10^{18}$
 $n_{jj} = 10^{19}$
 $n_{jj} = 10^{20}$
 $n_{jj} = 10^{21}$
 $n_{jj} = 10^{22}$
 $n_{jj} = 10^{23}$
 $n_{jj} = 10^{24}$
 $n_{jj} = 10^{25}$
 $n_{jj} = 10^{26}$
 $n_{jj} = 10^{27}$
 $n_{jj} = 10^{28}$
 $n_{jj} = 10^{29}$
 $n_{jj} = 10^{30}$
 $n_{jj} = 10^{31}$
 $n_{jj} = 10^{32}$
 $n_{jj} = 10^{33}$
 $n_{jj} = 10^{34}$
 $n_{jj} = 10^{35}$
 $n_{jj} = 10^{36}$
 $n_{jj} = 10^{37}$
 $n_{jj} = 10^{38}$
 $n_{jj} = 10^{39}$
 $n_{jj} = 10^{40}$
 $n_{jj} = 10^{41}$
 $n_{jj} = 10^{42}$
 $n_{jj} = 10^{43}$
 $n_{jj} = 10^{44}$
 $n_{jj} = 10^{45}$
 $n_{jj} = 10^{46}$
 $n_{jj} = 10^{47}$
 $n_{jj} = 10^{48}$
 $n_{jj} = 10^{49}$
 $n_{jj} = 10^{50}$
 $n_{jj} = 10^{51}$
 $n_{jj} = 10^{52}$
 $n_{jj} = 10^{53}$
 $n_{jj} = 10^{54}$
 $n_{jj} = 10^{55}$
 $n_{jj} = 10^{56}$
 $n_{jj} = 10^{57}$
 $n_{jj} = 10^{58}$
 $n_{jj} = 10^{59}$
 $n_{jj} = 10^{60}$
 $n_{jj} = 10^{61}$
 $n_{jj} = 10^{62}$
 $n_{jj} = 10^{63}$
 $n_{jj} = 10^{64}$
 $n_{jj} = 10^{65}$
 $n_{jj} = 10^{66}$
 $n_{jj} = 10^{67}$
 $n_{jj} = 10^{68}$
 $n_{jj} = 10^{69}$
 $n_{jj} = 10^{70}$
 $n_{jj} = 10^{71}$
 $n_{jj} = 10^{72}$
 $n_{jj} = 10^{73}$
 $n_{jj} = 10^{74}$
 $n_{jj} = 10^{75}$
 $n_{jj} = 10^{76}$
 $n_{jj} = 10^{77}$
 $n_{jj} = 10^{78}$
 $n_{jj} = 10^{79}$
 $n_{jj} = 10^{80}$
 $n_{jj} = 10^{81}$
 $n_{jj} = 10^{82}$
 $n_{jj} = 10^{83}$
 $n_{jj} = 10^{84}$
 $n_{jj} = 10^{85}$
 $n_{jj} = 10^{86}$
 $n_{jj} = 10^{87}$
 $n_{jj} = 10^{88}$
 $n_{jj} = 10^{89}$
 $n_{jj} = 10^{90}$
 $n_{jj} = 10^{91}$
 $n_{jj} = 10^{92}$
 $n_{jj} = 10^{93}$
 $n_{jj} = 10^{94}$
 $n_{jj} = 10^{95}$
 $n_{jj} = 10^{96}$
 $n_{jj} = 10^{97}$
 $n_{jj} = 10^{98}$
 $n_{jj} = 10^{99}$
 $n_{jj} = 10^{100}$

"		fat
5-10 ⁵	1.3	1.064
10	1.0	1.050
2.5 - 10	0.7	1.035
5 - 10	0.5	1,025
10 ⁷	0.32	1.016
—	(0.8) $n_{jj} = 50 \cdot 10^6$, $\& = 10$	= 9.

D.1.

0.2.



0.2 —

^

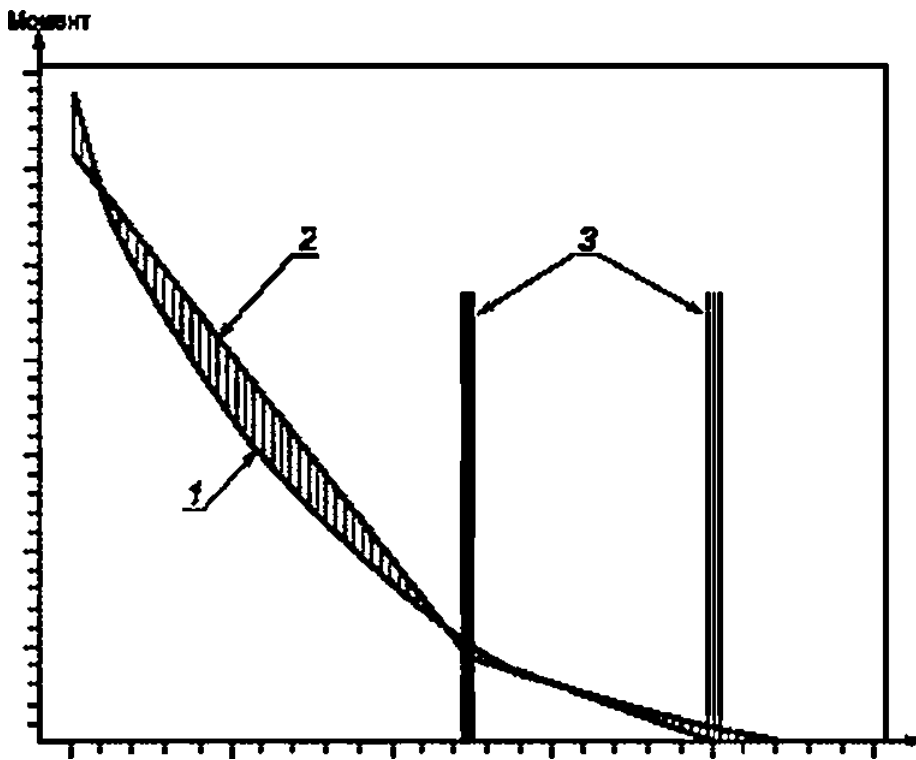
()

.1

.2

{ .9.2 }

(.1)



i—

.2—

.3—

.1—

54418.23—2019

.4

(.) .

.5

.6

(. 10.1.6.3).
8

.7

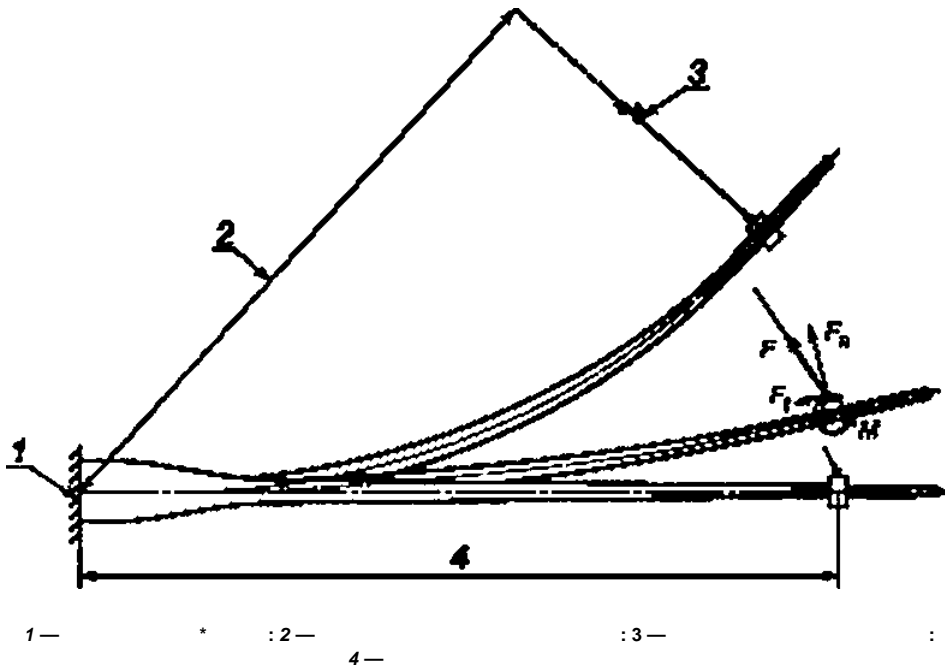
-
-
- - ;
- ;
- ;
-

.8

(. 9.4) .

(F)

F.1.



F.1 —

(F.1).

(F.1).

54418.23—2019

()

,

/ 17025—2009	IDT	ISO/IEC 17025:2005 « - »
54418.1—2012 (61400-1:2005)	MOD	IEC 61400-1:2005 « 1. »
55589—2013 (60050-415:1999)	MOD	IEC 60050-415:1999 « 415. »
2394—2016	IDT	ISO 2394:1998 « »
<p>— :</p> <ul style="list-style-type: none"> • IDT — ; • MOD — . 		

()

.1

	IEC 61400-23:2014
1	1
2	2
3 ,	3
4	4
5	5
6	
7	7
8	8
9	9
10	10
11	11
12	12
	D
0	F
-	-
F -	-
- ,	
-	

54418.23—2019

621.311.24'534.6:006.354

27.180

: , , , *

4—2019/3

“ “
“ “
“ “

01.04.20)9.

03.04 2019.

90x34%.

. . . 4.18. - . . 3,79.

,

« »

,

117419 . - . . 31. . 2.
www.goslinfo.ru nfo@gosbcifo.nj